

# Bruchpunkt- und Mischverteilungsmodelle

Volker Schmid

17. Juli 2017

Bruchpunktmodelle

Bayesianische Mischverteilungsmodelle

# Bruchpunktmodelle

# Bruchpunktmodelle

- ▶ Beim Bruchpunktmodell ändert sich ein Parameter eines Modells an einem Punkt sprungartig
- ▶ In der Regel Anwendung auf Zeitreihen
- ▶ Theoretisch diskrete oder stetige Zeit möglich

Beispiele:

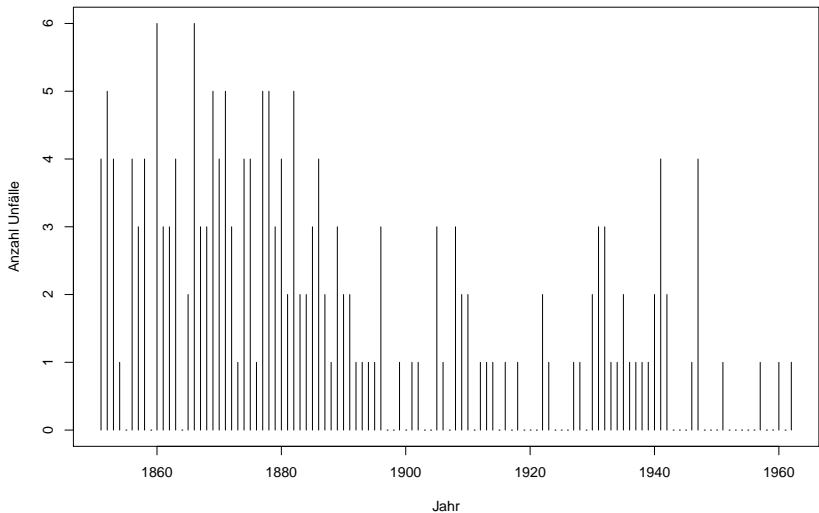
- ▶ Aktienkurse
- ▶ Schlafdaten
- ▶ Krankheiten mit Schüben
- ▶ Stärke von Sportmannschaften
- ▶ Zeitreihen von Krankheitsfällen (Bruchpunkt: Ausbruch einer Epidemie)

## Beispiel: Unfälle in englischen Kohlebergwerken I

Der Datensatz {coal.txt} enthält die jährliche Anzahl von Unfällen in englischen Kohlebergwerken während der Jahre 1851-1962 (insgesamt 112 Jahre). Ein Plot der Daten zeigt einen deutlichen Rückgang der Unfälle ab etwa 1900.

```
coal <- read.table("../bayeskurs/data/coal.txt", header = TRUE)
plot(coal$year, coal$disasters, type = "h",
      xlab = "Jahr", ylab = "Anzahl Unfälle")
```

## Beispiel: Unfälle in englischen Kohlebergwerken II



## Bruchpunktmodell

Ein Bruchpunktmodell für diese Daten  $\mathbf{y} = (y_1, \dots, y_{112})$  hat folgende Form:

$$Y_i \sim \begin{cases} Po(\lambda_1), & i = 1, \dots, \theta, \\ Po(\lambda_2), & i = \theta + 1, \dots, 112, \end{cases}$$

Prioris:

- ▶  $\lambda_i \mid \alpha \sim Ga(3, \alpha)$  für  $i = 1, 2$
- ▶  $\alpha \sim Ga(10, 10)$
- ▶  $\theta \sim U\{1, \dots, 112\}$ .

## Posteriori

Die gemeinsame Posteriori-Dichte ist gegeben durch:

$$\begin{aligned} p(\lambda_1, \lambda_2, \alpha, \theta | \mathbf{y}) &\propto p(\mathbf{y} | \lambda_1, \lambda_2, \alpha, \theta) p(\lambda_1, \lambda_2, \alpha, \theta) \\ &= p(\mathbf{y} | \lambda_1, \lambda_2, \alpha, \theta) p(\lambda_1 | \lambda_2, \alpha, \theta) \\ &\quad \cdot p(\lambda_2 | \alpha, \theta) p(\alpha | \theta) p(\theta) \\ &= p(\mathbf{y} | \lambda_1, \lambda_2, \theta) p(\lambda_1 | \alpha) p(\lambda_2 | \alpha) p(\alpha) p(\theta) \\ &\propto \left( \prod_{i=1}^{\theta} \lambda_1^{y_i} \exp(-\lambda_1) \right) \left( \prod_{i=\theta+1}^n \lambda_2^{y_i} \exp(-\lambda_2) \right) \\ &\quad \cdot \underbrace{\alpha^3 \lambda_1^{3-1} \exp(-\alpha \lambda_1)}_{\lambda_1 | \alpha \sim Ga(3, \alpha)} \underbrace{\alpha^3 \lambda_2^{3-1} \exp(-\alpha \lambda_2)}_{\lambda_2 | \alpha \sim Ga(3, \alpha)} \\ &\quad \cdot \underbrace{\alpha^{10-1} \exp(-10\alpha)}_{\alpha \sim Ga(10, 10)} \underbrace{I(1 \leq \theta \leq 112)}_{\theta \sim U\{1, \dots, 112\}}. \end{aligned}$$

## Full Conditionals I

$$\begin{aligned}\lambda_1 \mid \lambda_2, \alpha, \theta, \mathbf{y} &\propto \left( \prod_{i=1}^{\theta} \lambda_1^{y_i} \exp(-\lambda_1) \right) \lambda_1^{3-1} \exp(-\alpha \lambda_1) \\ &= \lambda_1^{3+\sum_{i=1}^{\theta} y_i - 1} \exp(-\lambda_1(\theta + \alpha))\end{aligned}$$

Dies ist der Kern einer  $Ga(3 + \sum_{i=1}^{\theta} y_i, \theta + \alpha)$ -Verteilung.

$$\begin{aligned}\lambda_2 \mid \lambda_1, \alpha, \theta, \mathbf{y} &\propto \left( \prod_{i=\theta+1}^n \lambda_2^{y_i} \exp(-\lambda_2) \right) \lambda_2^{3-1} \exp(-\alpha \lambda_2) \\ &= \lambda_2^{3+(\sum_{i=\theta+1}^n y_i) - 1} \exp(-\lambda_2(\alpha + [n - \theta]))\end{aligned}$$

Dies ist der Kern einer  $Ga(3 + \sum_{\theta+1}^{112} y_i, \alpha + 112 - \theta)$ , da  $n = 112$ .

## Full Conditionals II

$$\begin{aligned}\alpha | \lambda_1, \lambda_2, \theta, \mathbf{y} &\propto \alpha^3 \exp(-\alpha \lambda_1) \alpha^3 \exp(-\alpha \lambda_2) \alpha^{10-1} \exp(-10\alpha) \\ &= \alpha^{16-1} \exp(-\alpha(10 + \lambda_1 + \lambda_2))\end{aligned}$$

Dies ist der Kern einer  $Ga(16, 10 + \lambda_1 + \lambda_2)$ .

## Full Conditionals III

$$\begin{aligned}\theta \mid \lambda_1, \lambda_2, \alpha, \mathbf{y} &\propto \left( \prod_{i=1}^{\theta} \lambda_1^{y_i} \exp(-\lambda_1) \right) \left( \prod_{i=\theta+1}^n \lambda_2^{y_i} \exp(-\lambda_2) \right) \\ &\quad \cdot \mathbb{I}(1 \leq \theta \leq 112) \\ &\propto \left( \prod_{i=1}^{\theta} \lambda_1^{y_i} \exp(-\lambda_1) \right) \left( \prod_{i=\theta+1}^n \lambda_2^{y_i} \exp(-\lambda_2) \right) \\ &\quad \cdot \frac{\left( \prod_{i=1}^{\theta} \lambda_2^{y_i} \exp(-\lambda_2) \right)}{\left( \prod_{i=1}^{\theta} \lambda_2^{y_i} \exp(-\lambda_2) \right)} \mathbb{I}(1 \leq \theta \leq 112) \\ &\propto \left( \prod_{i=1}^{\theta} \lambda_1^{y_i} \lambda_2^{-y_i} \exp(-\lambda_1) \exp(\lambda_2) \right) \mathbb{I}(1 \leq \theta \leq 112) \\ &= \exp(\theta(\lambda_2 - \lambda_1)) \left( \frac{\lambda_1}{\lambda_2} \right)^{\sum_{i=1}^{\theta} y_i} \mathbb{I}(1 \leq \theta \leq 112)\end{aligned}$$

## Full Conditionals IV

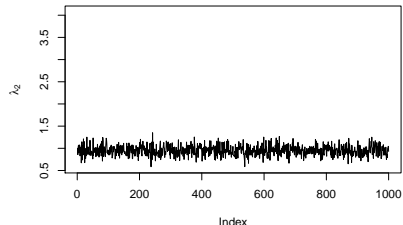
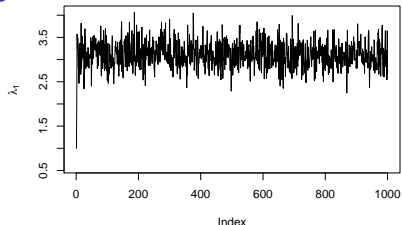
$$\begin{aligned}\theta \mid \lambda_1, \lambda_2, \alpha, \mathbf{y} = & \exp(\theta(\lambda_2 - \lambda_1)) \exp\left\{\left(\sum_{i=1}^{\theta} y_i\right) \log\left(\frac{\lambda_1}{\lambda_2}\right)\right\} \\ & \cdot I(1 \leq \theta \leq 112)\end{aligned}$$

# Ergebnisse I

```
samples <- breakpoint.gibbs(1000, y = coal$disaster)

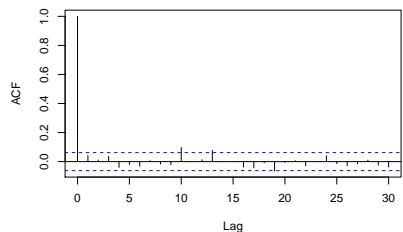
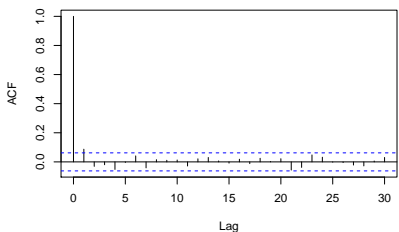
# plots
par(mfrow = c(2,2))
plot(samples[, "lambda1"], type = "l",
      ylab = expression(lambda[1]),
      ylim = c(min(samples[, 1:2]), max(samples[, 1:2])))
plot(samples[, "lambda2"], type = "l",
      ylab = expression(lambda[2]),
      ylim = c(min(samples[, 1:2]), max(samples[, 1:2])))
acf(samples[, "lambda1"])
acf(samples[, "lambda2"])
```

## Ergebnisse II



Series samples[, "lambda1"]

Series samples[, "lambda2"]

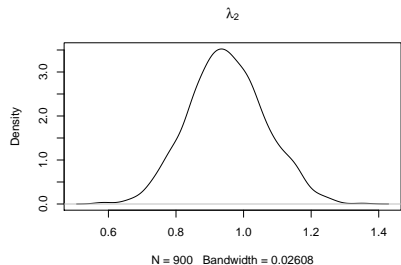
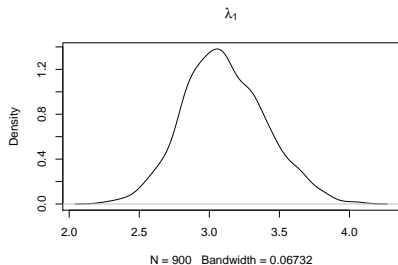
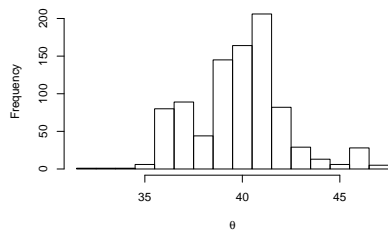
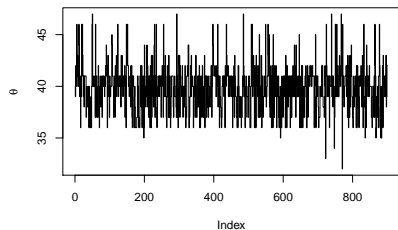


Betrachtung der Pfade: 1000 Realisationen reichen aus, fast kein Burn-in notwendig, kaum Autokorrelation.

## Ergebnisse III

```
burnin <- 1:100 # hier großzügiger burn-in angewendet
par(mfrow = c(2,2))
# theta
plot(samples[-burnin, "theta"], type = "S",
      ylab = expression(theta))
hist(samples[-burnin, "theta"], xlab = expression(theta),
      breaks = ((min(samples[-burnin, "theta"])-1):
                  (max(samples[-burnin, "theta"])))+0.5,
      main = "")
# lambda_1
plot(density(samples[-burnin, "lambda1"]), main =
      expression(lambda[1]))
# lambda_2
plot(density(samples[-burnin, "lambda2"]), main =
      expression(lambda[2]))
```

## Ergebnisse IV



- ▶ Mittelwert und Median für alle Parameter:

## Ergebnisse V

```
apply(samples[-burnin,], MAR = 2, mean)
```

```
##      lambda1      lambda2      alpha      theta
##  3.1088222  0.9511412  1.1418192 39.8566667
```

```
apply(samples[-burnin,], MAR = 2, median)
```

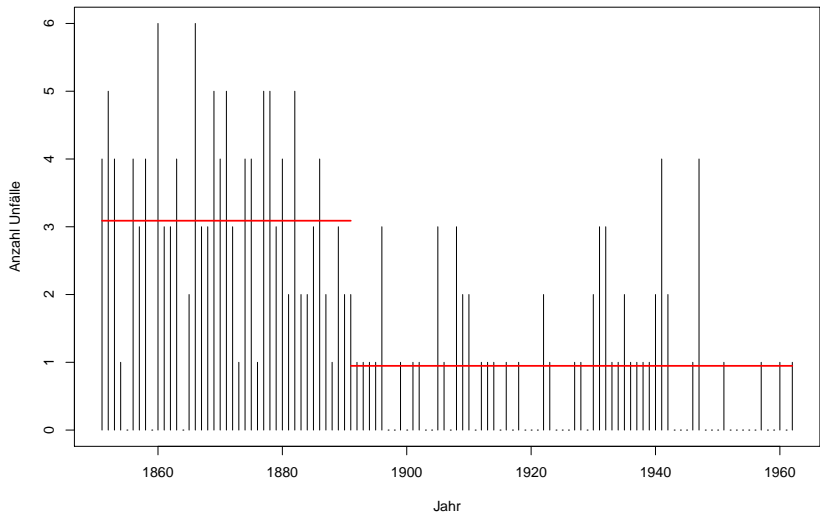
```
##      lambda1      lambda2      alpha      theta
##  3.0893246  0.9476406  1.1321178 40.0000000
```

Median-Modell im Histogramm:

## Ergebnisse VI

```
plot(coal$year, coal$disasters, type = "h",
      xlab = "Jahr", ylab = "Anzahl Unfälle")
medianmodel <- apply(samples[-burnin,], MAR = 2, median)
jahr1 <- min(coal$year)
lines(c(jahr1, jahr1 + medianmodel["theta"]),
      rep(medianmodel["lambda1"], 2), col=2, lwd = 2)
lines(c(jahr1 + medianmodel["theta"], max(coal$year)),
      rep(medianmodel["lambda2"], 2), col=2, lwd = 2)
```

## Ergebnisse VII



# Bayesianische Mischverteilungsmodelle

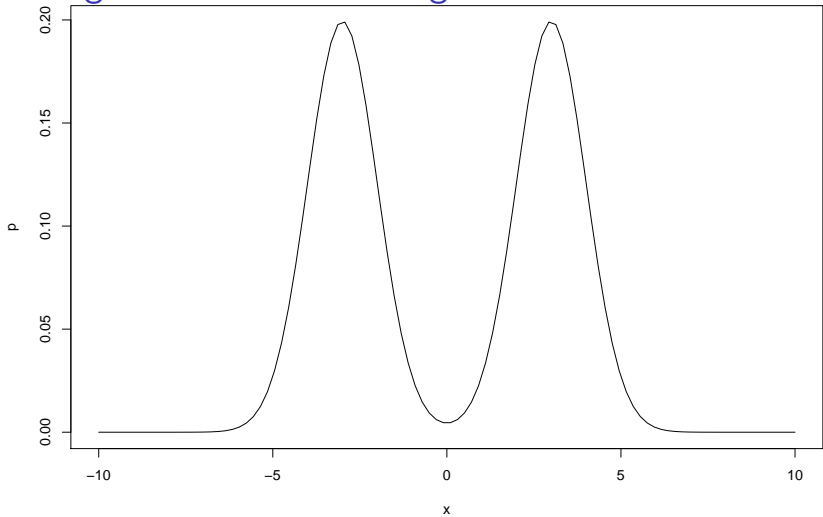
# Mischverteilungen

- ▶ (Normal-)Verteilungsannahme basiert in der Regel auf der Annahme, dass die Beobachtungen identisch verteilt sind, es also eine Verteilung der Grundgesamtheit gibt
- ▶ Alternative Annahme: Es gibt mehrere Gruppen in der Grundgesamtheit, die alle die selbe Verteilungsklasse haben, aber unterschiedliche Parameter
- ▶ Einfachster Fall: Mischung von Normalverteilungen

## Mischung von Normalverteilungen I

```
x <- seq(-10, 10, length=100)
p <- 0.5*dnorm(x,-3,1) + 0.5*dnorm(x,3,1)
plot(x,p, type="l")
```

## Mischung von Normalverteilungen II

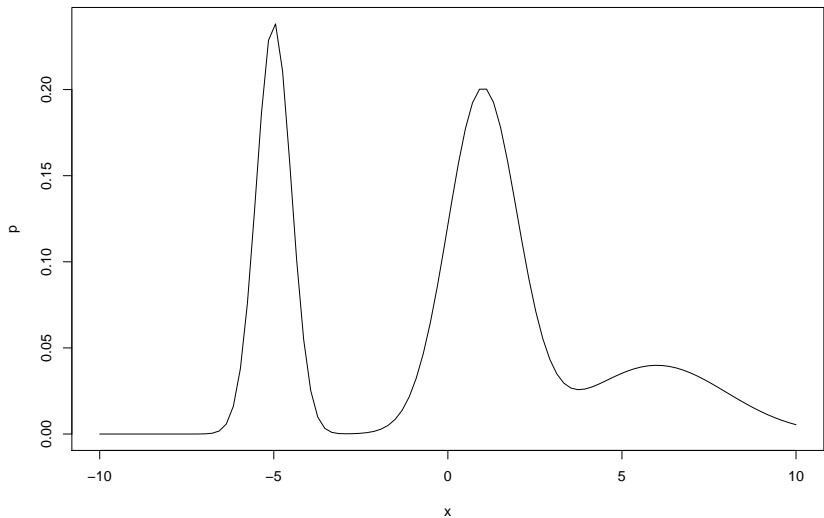


- ▶ Natürlich sind auch verschiedene Varianzen und verschiedene Gewichte möglich

## Mischung von Normalverteilungen III

```
x <- seq(-10, 10, length=100)
p <- 0.3*dnorm(x,-5,0.5) + 0.5*dnorm(x,1,1) + 0.2*dnorm(x,6,2)
plot(x,p, type="l")
```

## Mischung von Normalverteilungen IV



# Fragen

- ▶ Welche Parameter und welche Gewichte haben die einzelnen Verteilungen?
- ▶ Wieviele Mischverteilungen brauchen wir?
- ▶ Zu welcher Verteilung gehört welche Beobachtung

# Latente Klassen

Idee der Modellierung: Führe latente Klassen  $S_i$  ein

$$x_i | S_i \sim N(\mu_{S_i}, \sigma_{S_i}^2)$$

$$\mu_j \sim N(\mu_0, \sigma_0^2)$$

$$\sigma_j^2 \sim IG(a, b)$$

$$p(S_i = j) = \pi_j$$

$$(\pi_1, \dots, \pi_K) \sim Diri(\alpha, \dots, \alpha)$$

Dirichlet-Verteilung:

$$p(\pi_1, \dots, \pi_K) \propto \prod \pi_i^{\alpha_i - 1}$$

## Full conditionals

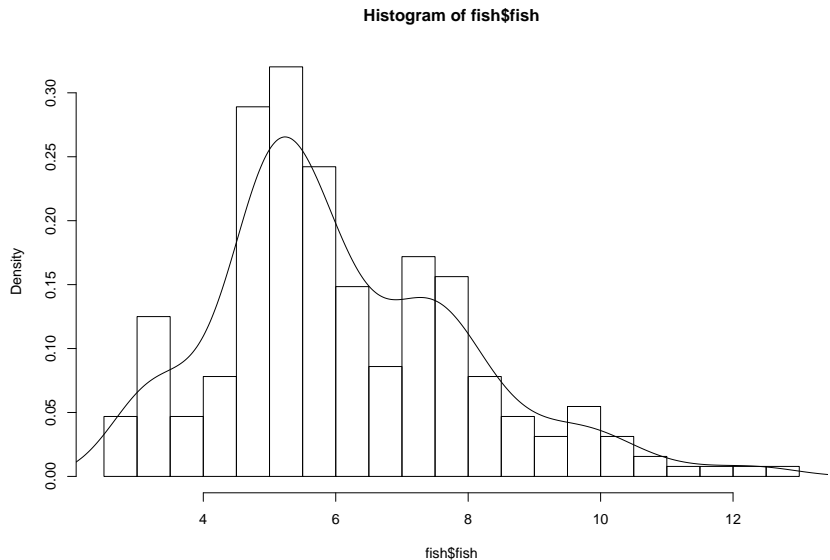
- ▶ Die full conditional von  $\mu_j$  sind Normalverteilungen, wobei die  $x_i$  mit  $S_i = j$  eingehen
- ▶ Analog ist die full conditional von  $\sigma_j^2$  eine IG-Verteilung
- ▶  $p(S_i = j)$  berechnet sich aus Dichte von  $x_i$  mit  $\mu_j$  und  $\sigma_j^2$  (und Priori)
- ▶ Full Conditional von  $\pi$  ist Dirichlet mit  $(\alpha + n_1, \dots, \alpha + n_k)$ , wobei  $n_j$  die aktuelle Anzahl der Beobachtungen in Klasse  $j$  ist

## Beispiel I

Länge von 256 Fischen (aus D. M. Titterington, A. F. M. Smith and U.E. Makov (1985) Statistical Analysis of Finite Mixture Distributions. Wiley.)

```
data(fish, package="bayesmix")
hist(fish$fish, freq=FALSE, n=22)
lines(density(fish$fish))
```

## Beispiel II



# bayesmix-Paket I

```
library(bayesmix)
model <- BMMmodel(fish, k = 4,
  initialValues = list(S0 = 2),
  priors = list(kind = "independence",
  parameter = "priorsFish",
  hierarchical = "tau"))
```

```
print(model)
```

```
## Data for nodes: b0, B0inv, nu0Half, g0Half, g0G0Half, k
## Initial values for nodes: eta, mu, tau, S0
##
## Model specification in BUGS language:
##
## var
```

## bayesmix-Paket II

```
## b0,  
##      B0inv,  
##      nu0Half,  
##      g0Half,  
##      g0G0Half,  
##      k,  
##      N,  
##      eta[4],  
##      mu[4],  
##      tau[4],  
##      nu0S0Half,  
##      S0,  
##      e[4],  
##      y[256],  
##      S[256];  
##  
## model {
```

## bayesmix-Paket III

```
##  for (i in 1:N) {  
##      y[i] ~ dnorm(mu[S[i]],tau[S[i]]);  
##      S[i] ~ dcat(eta[]);  
##  }  
##  for (j in 1:k) {  
##      mu[j] ~ dnorm(b0,B0inv);  
##      tau[j] ~ dgamma(nu0Half,nu0S0Half);  
##  }  
##  S0 ~ dgamma(g0Half,g0G0Half);  
##  nu0S0Half <- nu0Half * S0;  
##  
##  eta[] ~ ddirch(e[]);  
## }
```

# JAGS

- ▶ **JAGS** oder **Just another Gibbs sampler** ist eine Software zur MCMC-Simulation.
- ▶ Definition der Modelle entspricht der bei WinBUGS bzw. OpenBUGS
- ▶ Anbindung an R und andere Sprachen

## Fortsetzung Beispiel I

```
control <- JAGScontrol(variables = c("mu", "tau", "eta",
  "S"), burn.in = 1000, n.iter = 5000, seed = 10)

z <- JAGSrun(fish, model = model, control = control)

## Compiling model graph
## Declaring variables
## Resolving undeclared variables
## Allocating nodes
## Graph information:
##   Observed stochastic nodes: 256
##   Unobserved stochastic nodes: 266
##   Total graph size: 1047
##
## Initializing model
```

## Fortsetzung Beispiel II

```
zSort <- Sort(z, by = "mu")
zSort
```

```
##
## Call:
## JAGSrun(y = fish, model = model, control = control)
##
## Markov Chain Monte Carlo (MCMC) output:
## Start = 1001
## End = 6000
## Thinning interval = 1
##
## Empirical mean, standard deviation and 95% CI for eta
##      Mean      SD   2.5%  97.5%
## eta[1] 0.1189 0.02483 0.07530 0.1731
## eta[2] 0.5065 0.04458 0.41275 0.5863
## eta[3] 0.2746 0.04544 0.19466 0.3742
```

## Fortsetzung Beispiel III

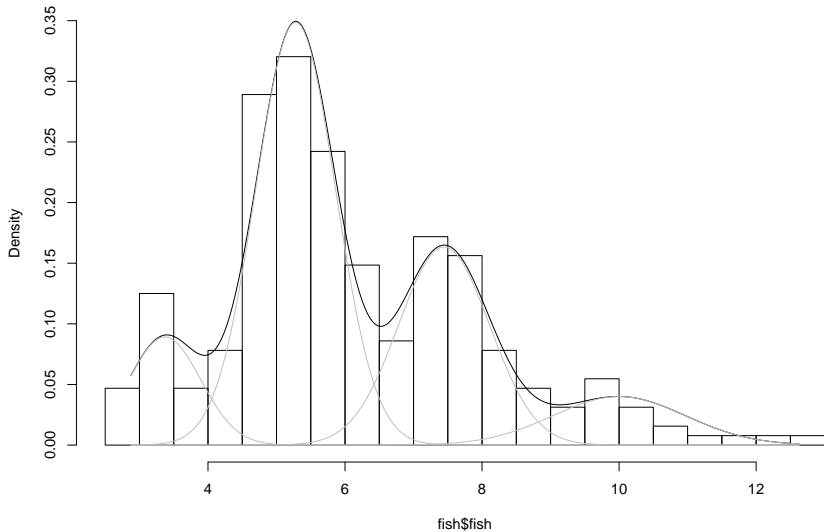
```
## eta[4] 0.1000 0.02937 0.05098 0.1658
##
## Empirical mean, standard deviation and 95% CI for mu
##      Mean       SD   2.5%  97.5%
## mu[1] 3.382 0.15393 3.122  3.729
## mu[2] 5.278 0.07337 5.130  5.416
## mu[3] 7.437 0.14866 7.106  7.699
## mu[4] 9.979 0.39132 9.181 10.696
##
## Empirical mean, standard deviation and 95% CI for sigma
##      Mean       SD   2.5%  97.5%
## sigma2[1] 0.2996 0.11811 0.1456 0.5876
## sigma2[2] 0.3504 0.08497 0.2357 0.5174
## sigma2[3] 0.4815 0.19657 0.2404 0.9607
## sigma2[4] 1.0023 0.34858 0.5354 1.8441
```

## Medianmodell I

```
postmed<-apply(zSort$results, 2, median)
x<-seq(min(fish$fish), max(fish$fish), length=1000)
d1 <- postmed[257]*dnorm(x, postmed[261], sqrt(postmed[265])
d2 <- postmed[258]*dnorm(x, postmed[262], sqrt(postmed[266])
d3 <- postmed[259]*dnorm(x, postmed[263], sqrt(postmed[267]
d4 <- postmed[260]*dnorm(x, postmed[264], sqrt(postmed[268]
d <- d1 + d2 + d3 + d4
hist(fish$fish, freq=FALSE, n=22, ylim=c(0,max(d)))
lines(x, d)
lines(x, d1, col="grey")
lines(x, d2, col="grey")
lines(x, d3, col="grey")
lines(x, d4, col="grey")
```

# Medianmodell II

Histogram of fish\$fish



# Posteriori-Verteilung der Klassen I

```
S <- apply(zSort$results[,1:256], 2,  
           bioimagetools::table.n, 4, percentage=TRUE)  
barplot(S, col=c("red", "green", "blue", "orange"))
```

## Posteriori-Verteilung der Klassen II

